

高压输电系统的 中性点接地

R. 維爾罕姆 M. 华德斯著

吳維誠 毛鈞森 王一字等译

中国工业出版社

统一书号：9

15165·4328(水电-595)

定 价： 3.60 元

144

高压输电系统的 的 中性点接地

R. 維爾罕姆 M. 华德斯著

吳維誠 毛鈞熹 王一字等譯

中国工业出版社

本书广泛阐述有关电力系统中性点接地方式的选择問題，以及絕緣运行的可靠性、过电压、继电保护等方面的问题，并詳論系統发生接地时的暂态过程。有相当大的篇幅研討中性点的谐振接地、消弧装置及辅助设备的結线和结构。最后介紹許多国家、地区所采用的不同接地方式。

本书可供从事高压輸电系統設計和运行的技术人員及高等院校有关专业的师生参考。

本书系由下列同志翻譯：吳維誠譯序，引言；第二章第13～16节，第三章；張大琨譯第一章，第二章第11～12节；馬廷緒譯第二章第1～10节，要煥年譯第四章；毛鈞齋譯第五章，第六章第1～13节；王一字譯第六章第14节，第七、八、九、十、十一章及附录。

R. Willheim, M. Waters
NEUTRAL GROUNDING IN HIGH-VOLTAGE TRANSMISSION
ELSEVIER PUBLISHING COMPANY AMSTERDAM, 1956

• • •
高压輸电系統的中性点接地

吳維誠 毛鈞齋 王一字 等譯

水利电力部办公厅图书編輯部編輯(北京阜外月坛南营房)

中国工业出版社出版(北京佟麟閣路丙10号)

北京市书刊出版业营业許可證出字第110号

中国工业出版社第四印刷厂印刷

新华书店北京发行所发行·各地新华书店經售

开本787×1092^{1/16}·印张31^{3/4}·字数652,000

1966年4月北京第一版·1966年4月北京第一次印刷

印数0001—3500·定价(科五)3.00元

*
统一书号：15165·4328(水电-595)

序

对中性点接地的方式和同它有关的問題，目前的看法是有分歧的，表現为从教条式的信仰到冷静的分析，从心安理得到亟图改进。二十年来，一些不同意見的交流以及由若干作者和科研单位发表的使用性能报告所提供的大量事实，已产生一种健全的影响。过电压的危险性已从現場經驗里找到数量上的大小概念。故障的統計分析也闡明了事故的原因、它們的发生頻率以及和一次、二次的作用。在控制故障发生率和增进供电安全方面已有巨大的进步。

事实上，事故統計还表明一般运行結果还没有达到应有的和可以获得的运行水平。不过目前已可选用一些先进方法，这些方法如果合理使用，即使在困难的环境下，也应取得重大的改进。

散見于大量著述中的关于这项技术的較新貢獻，有不少提供了以前由于仅作猜測而致隱晦的許多問題的現實分析方法。……❶

在这点上，作者感到应及时綜合已經积累的大量資料，并对已有的和正在发展的技术进行評价。

正在演变中的情况的一个值得注意之点，是諧振接地所起的作用。……

……不可能在本书这样一个标题下对輸电技术这一部分应有的完整說法作詳尽說明；同样也不易在按題归类时始終保持明显的分界线。有些一般性的問題，其中如直接接地系統的接地繼電保護的討論，則散見在第二部分（諧振接地）中那些叙述能較为完整的处所。……

作者 1956年1月于伦敦

❶ 原序中有关叙述学派师承、此书的前身德文本情况及志謝等节，因无关重要，均予刪去。——譯者

目 录

序	
引言	1
第一篇 接地故障和接地方式	
第一章 高压电网内的充电电流	2
1. 高压输电线的电容效应	2
2. 几种基本导线排列方式的电容	3
3. 简单导线系統的电容图解。定义	6
4. 平行架設的多导线系統（直接电容，泄漏电导）	11
5. 双芯和三芯电缆的电容	15
6. 接地故障的性质	16
参考資料	17
文献	17
第二章 正常和接地故障情况下的高压 系統。中性点接地的理論	17
1. 浮悬的中性点，电气重心。中性点位 移	17
2. 关于电气重心的一般原理	19
3. 中性点不接地的三相系統中由于接地故 障所承受的电压	23
4. 电容性接地故障电流的分布	25
5. 电流和电压的零序分量。几个典型例 子	31
6. 其他重要故障型式的等效电路	33
7. 輸电线路的零序阻抗	35
8. 变压器的零序阻抗	41
8.1. 星形-星形結線的內鐵型变压器	41
8.2. 星形-星形結線，磁归路暢通的電 力变压器。单相变压器組	44
8.3. 三角形-星形結線的变压器	45
8.4. 曲折形結線的变压器	47
8.5. 用二次結線來短路零序分量	48
8.6. 斯高脫結線的变压器	49
9. 旋转电机的零序阻抗	49
9.1. 圆磁化	49
9.2. 单层繞組	50
9.3. 双层繞組	51
9.4. 軸磁通	51
9.5. 参數值	51
10. 接地故障时健全相的稳态电压	52
10.1. 中性点直接接地	52
10.2. 中性点經电抗接地	54
10.3. 中性点經电阻接地	56
10.4. 不接地和諧振接地的系統	57
10.4.1. 持续性接地故障，其发生的頻 率和持续的时间	57
10.5. 电流和电压应力的互换性	59
10.6. 有效接地的系統	60
10.7. 数字例子	60
10.7.1. 低电抗接地	60
10.7.2. 低电阻接地	61
10.8. 过电压和故障电流的一般曲线	63
10.9. 发电机接地問題的說明	65
10.10. 接地故障所引起的动态过电压	69
10.10.1. 中性点不接地系統。在接地故 障和系統之間的集中电抗的 效应	70
10.10.2. 不接地的中性点。断线时的接 地故障	74
10.10.3. 在不对称短路的发电机的开 路軸上的过电压	82
11. 接地和不接地系統的暂态絕緣应力	82
11.1. 雷电冲击波	82
11.1.1. 直接雷击	82
11.1.2. 感应过电压	84
11.2. 故障时的暂态过程	85
11.2.1. 突然接地时的暂态过程	85
11.2.2. 弧光接地	86
11.3. 操作过电压	87
11.3.1. 励磁电流的开合	87
11.3.2. 切断无负荷线路	88
11.4. 現場經驗。結論	91
12. 輸电线路和发变电站设备的絕緣水平。	

接地方式的影响.....	94	16.2.2. 电阻接地系統.....	121
12.1. 輸電線路.....	95	16.2.3. 阻抗接地系統的其他特点.....	123
12.2. 開關設備.....	97	第二章 結語.....	123
12.3. 變壓器.....	100	參考資料.....	124
12.4. 交流發電機.....	102	文獻.....	128
12.5. 其他設備.....	103		
13. 由接地故障引起的電力回路間電容相互作用.....	104	第三章 三相系統內由接地故障引起的暫態現象	134
14. 電力回路對電信回路的干擾。接地方式的影響.....	105	1. 接地故障的開始和發展.....	134
14.1. 電容干擾.....	106	1.1. 介質強度的逐漸變化.....	134
14.1.1. 大地環路和大地環路間的相互作用.....	106	1.2. 對地間隔的突然減低.....	135
14.1.2. 電力回路的大地環路和電信回路的金屬環路間的相互作用.....	108	1.3. 發變電站設備的絕緣事故.....	135
14.1.3. 兩回路的金屬環路間的電容相互作用.....	108	1.4. 架空輸電線.....	136
14.1.4. 電力回路的金屬環路在靜電方面對電信回路的大地環路的相互作用.....	109	1.5. 從公布的接地故障統計中分析運行記錄.....	141
14.1.5. 單線大地回歸的電信回路.....	109	1.6. 發生次數和正常工頻波的關係.....	145
14.2. 电磁干擾.....	109	1.7. 電纜系統內的接地故障.....	147
14.2.1. 大地環路和大地環路間的相互作用.....	110	2. 由正常狀況過渡到接地狀況的現象(接地暫態現象).....	147
14.2.2. 電力回路的大地環路和電信回路的金屬環路間的相互作用.....	113	2.1. 發生絕緣事故後的進行波.....	147
14.2.3. 電力回路的金屬環路和電信回路的金屬環路間的相互作用.....	114	2.2. 變壓器和旋轉電機對放電波的反應.....	149
14.2.4. 電力回路的金屬環路和電信回路的大地環路間的相互作用.....	114	2.3. 變壓器(或發電機)和線路間的中頻暫態現象.....	152
14.2.5. 單線大地回歸的電信回路.....	114	2.3.1. 不接地系統.....	152
14.3. 數例比較.....	115	2.3.2. 中性點直接接地的系統.....	157
15. 接地故障鄰近的電壓梯度.....	117	3. 接地故障的遮斷和恢復期暫態現象.....	159
16. 接地方式的選擇及其優缺點.....	119	4. 間歇性接地故障(弧光接地).....	163
16.1. 中性點有效接地的系統.....	119	4.1. 重燃的機理.....	163
16.1.1. 优点.....	119	4.2. 振蕩熄弧的機理.....	164
16.1.2. 缺點和減輕缺點的方法.....	120	4.3. 彼得生理論的一些特點.....	166
16.2. 中性點阻抗接地的系統.....	121	4.4. 正常工頻熄弧時弧光接地的機理.....	170
16.2.1. 電抗接地系統.....	121	4.5. 中性點不接地系統內弧光接地的實驗性觀察.....	172

参考資料.....	183	式.....	238
文献.....	185	11.6. 具有星形-三角形繞組的磁路互联 裝置。鮑赫變壓器.....	240
第四章 接地故障消除措施的发展和目 前趋势	187	11.7. 三相接地故障补偿装置与中性点接 地電抗器的比較.....	242
1. 消除接地故障与遮断接地故障的对比	187	12. 同时补偿接地故障电流和线路充电电流 的装置.....	243
2. 消弧接地开关	188	13. 谱振接地与非譜振接地的比較.....	244
3. 管型避雷器(排气式保护间隙)	189	參考資料.....	245
4. 故障线路的快速重合	191	文献.....	245
5. 对相序分量具有辨别反应的串联电抗	198	第六章 接地故障补偿装置(消弧线圈)。 特殊問題	247
6. 接地故障补偿装置(消弧线圈)	199	1. 残余故障电流及其补偿	247
參考資料.....	199	1.1. 功率损失分量的补偿	247
文献.....	201	1.2. 譜波分量的补偿	250
第二篇 譜振接地		1.2.1. 残余故障电流中高次譜波的来 源	250
第五章 接地故障补偿装置(消弧线 圈)。一般理論	204	1.2.2. 残余故障电流中譜波的补偿	253
1. 有关历史和名词的说明	204	1.3. 不对称系統的残余故障电流	256
2. 持续性接地故障时接地故障补偿装置的 作用	204	2. 譜振接地系統中故障阻抗的影响	257
3. 有持续性接地故障的系統运行	209	3. 电缆系統中应用接地故障补偿装置	262
4. 具有接地故障补偿装置的系統中接地故 障电弧的熄灭	209	4. 譜振接地系統中的譜振現象	264
5. 具有接地故障补偿装置的系統中发生故 障后的暫态分量	217	4.1. 譜振接地系統中电容不对称的效 果	265
6. 功率损失对接地故障补偿装置运行的影 响	222	4.1.1. 永久性不对称	265
7. 残余故障电流的功率损失分量	223	4.1.2. 暫時性不对称	265
8. 中性点接消弧线圈的电力變壓器的选 择	226	4.1.3. 譜振接地系統电容不对称的等 效电路	266
9. 辅助接地變壓器	232	4.1.4. 暫時性不对称百分率的数值	267
10. 消弧线圈电流所經過的系統其余部分	234	4.1.5. 由电容不对称引起的中性点位 移。损失的限制作用。琼納斯 的圓圖	268
11. 接地故障补偿装置的不同形式	234	4.1.6. 电容不对称引起的中性点位移。 磁饱和的限制作用	273
11.1. 三相接地故障补偿装置中磁路的双 重作用	235	4.2. 饱和電抗器作为相接地裝置和中性 点接地裝置的运行特性	276
11.2. 滿意的三相譜振接地裝置的主要特 性	236	4.3. 变压器繞組和电源电压不对称的效 果	279
11.3. 真实的三相接地故障补偿裝置	236	4.3.1. 由短路匝造成的电压不对称	279
11.4. 磁路互联式三相接地故障补偿裝 置	237	4.3.2. 带負荷調整分接头裝置所产生 的电压不对称	279
11.5. 具有互联星形繞組的磁路互联形		4.3.3. 相繞組斷線	280
		4.3.4. 由注入零序分量所引起的电压	

不对称	281	10. 采用谐振接地方式的限度	319
4.4. 谐振接地系统中限制中性点位移的方法	282	11. 谐振接地系统中的过电压	321
4.4.1. 饱和磁路	282	11.1. 基频过电压	321
4.4.2. 非谐振的调谐	282	11.2. 操作过电压	322
4.4.3. 增大功率损失分量	283	11.2.1. 断开励磁电流	322
4.4.4. 消除不对称的原因	284	11.2.2. 断开线路充电电流	323
5. 线路间电容耦合在电力系统间引起的相互作用。电容耦合的补偿(横补偿)	284	11.2.3. 谐振接地系统中断开两相对地故障	325
5.1. 多导线线路由单个等效导线来代表	285	11.2.4. 实际和模拟系统中观察到的操作过电压	328
5.2. 三角形接法的去耦合线圈	289	11.3. 雷击过电压	328
5.3. 星形接法的去耦合线圈	290	11.3.1. 接地方式对雷击过电压的数值和形状的影响	328
5.4. 去耦合变压器	295	11.3.2. 由雷击进行波在接地装置中引起的绝缘应力	330
5.5. 阻尼电阻	297	11.3.3. 减少接地装置绝缘应力的方法	333
5.6. 系统中性点的直接互相连接	298	11.3.4. 接地装置的冲击绝缘水平建议值	334
5.7. 三角形接法去耦合线圈的圆图	298	11.3.5. 避雷器和接地故障补偿装置的工作范围和任务	335
5.8. 星形接法去耦合线圈的圆图	301	11.3.6. 多相雷击网络对于谐振接地系统运行特性的影响	336
5.9. 去耦合变压器中性点电压向量的轨迹	303	12. 电量对于消弧的影响	338
5.10. 有效接地系统与谐振接地系统的相互作用	303	13. 谐振接地系统对不同形式系统扰动的反应	342
6. 有金属连接的双回线路的电容接地故障电流	304	13.1. 变压器不对称	342
7. 谐振接地系统对邻近通信线路的干扰	306	13.2. 同时发生短路和接地故障	342
7.1. 基频干扰	306	13.3. 系统稳定	343
7.2. 音频干扰	307	14. 接地故障的测定和消除	343
7.3. 直接接触的干扰	308	14.1. 接地故障的指示	344
8. 消弧和正常运行时对称运行的通用条件	308	14.2. 瞬时性接地故障的高速指示	344
8.1. 具有n根导线的单独系统	308	14.3. 持续性接地故障	345
8.2. 两个系统。补偿和去耦合的通用理论	310	14.3.1. 残余故障电流中有功分量的分布	346
9. 特长线路的接地故障补偿	312	14.3.2. 瓦特计式接地故障继电器。设计特点。时间分级	348
9.1. 特长线路的图解分析	312	14.3.3. 电压互感器, 结线和特性要求	350
9.2. 对于谐振接地系统的应用	314	14.3.4. 电流互感器, 结线和特性要求	352
9.2.1. 在线路一端的接地故障补偿装置	315	14.3.5. 系统中固有的使接地故障继电器不正确动作的因素	355
9.2.2. 在线路中间某点的接地故障补偿装置	317		
9.2.3. 线路两端的接地故障补偿装置	317		
9.2.4. 功率损失的影响	318		

14.3.6. 人为地增加有功分量.....	357	1.11. 电容电流和泄漏电流的季节性变化.....	409
14.3.7. 电力变压器的接地故障保护	358	2. 接地故障补偿装置的定额、位置和布置	409
14.4. 非谐振接地系统的接地故障继电保护.....	358	2.1. 定额	409
14.4.1. 不接地和高阻抗接地系统... ..	358	2.2. 位置	410
14.4.2. 有效接地和低阻抗接地系统	358	2.3. 布置	411
14.4.3. 母线保护.....	365	2.4. 辅助设备	412
14.4.4. 故障得到防止的系统中的次生效应.....	366	3. 接地故障补偿装置设计所需的资料	414
参考資料.....	366	参考資料.....	414
文献.....	368	文献.....	415
第七章 谐振接地系统行为的评价。在减少故障率上与其它方法的比较	376	第九章 接地故障补偿装置的设计、试验及投入运行	417
1. 中性点利用谐振接地的系统在运行上的优点	376	1. 接地故障补偿装置的设计	417
2. 运行经验	377	1.1. 一般设计原则	417
3. 与其它降低故障率方法的比较	382	1.2. 热的定额	419
3.1. 避雷线的遮蔽	382	1.3. 绝缘等级	420
3.2. 改善的接地	385	1.4. 分接头和辅助线圈的设计。等效框架尺寸	421
3.3. 提高绝缘水平	386	1.5. 线圈电流的连续调节	427
3.4. 管型和阀型避雷器	387	1.5.1. 采用由直流控制的电抗器	428
3.5. 快速重合	387	1.5.2. 杆式电抗器	428
3.6. 双回线路	387	1.5.3. 移动线圈式调节	430
3.7. 不间断供电。实际成就，改善运行所需的费用	389	1.6. 线卷布置	431
参考資料.....	389	1.7. 损耗；铜铁损比率	433
文献.....	390	1.8. 三相式接地故障补偿装置	434
第八章 接地故障补偿设备的设计和布置	392	1.9. 实际设计举例	436
1. 接地故障电容电流的决定	392	2. 接地故障补偿装置的试验	441
1.1. 三相单回线路	393	2.1. 中等容量的接地故障补偿装置	441
1.2. 三相双回线路	396	2.2. 大容量的定额	443
1.3. 精确的计算法	398	3. 接地故障补偿装置及其附属设备的投入运行	443
1.4. 近似法的应用于联立方程式组	399	3.1. 利用人工接地故障进行试验	444
1.5. 系数的简化。等值导线	400	3.1.1. V形曲线法	444
1.6. 架空线的图和表	403	3.1.2. 圆图法	444
1.7. 绝缘子电容的校正及其它	407	3.1.3. 瓦特表法	447
1.8. 电缆的接地故障电容电流曲线	407	3.2. 利用自然的或人为的系统不平衡的试验	447
1.9. 接地故障电容电流的快速估算	407	3.3. 投入前系统情况的检查	448
1.10. 直接测量.....	408	3.4. 接地故障继电器的投入	448
参考資料.....	450	文献.....	451
文献.....	451	第十章 谐振接地系统中调谐的监视和	

季节性变	自动控制	451
置和布置	1. 調諧的監視	452
..... 409	1.1. 間接(手动操作)監視	452
..... 409	1.2. 直接監視	453
..... 410	1.2.1. 利用自然的系統不平衡	453
..... 411	1.2.2. 人为的不平衡	453
..... 412	1.2.3. 中性点注入	454
..... 414	2. 自动調諧	458
..... 414	2.1. 补償計继电器	458
..... 415	2.2. 补償計电动机	459
..... 417	2.3. 对最大中性点位移的自动調諧	460
..... 417	参考資料	461
..... 417	文獻	461
..... 419	第十一章 谱振接地在各地的应用	462
..... 420	1. 德国	462
..... 421	2. 美国	464
..... 427	3. 英国	468
..... 427	4. 爱尔兰	469
..... 428	5. 非洲南部	470
..... 428	6. 澳大利亚	473
..... 430	7. 新西兰	473
..... 431	8. 加拿大	475
..... 433	9. 馬来亚	476
..... 434	10. 斯塔的那維亞	477
..... 436	11. 中歐和西歐	480
..... 441	12. 苏联	482
..... 441	13. 日本	482
..... 443	14. 其他	482
投入	参考資料	483
..... 443	文獻	485
..... 444	附录	489
..... 444		
..... 444		
..... 447		
衡的		
..... 447		
..... 448		
.. 448		
.. 450		
.. 451		
和		

引　　言

本世紀的整个上半期內，在美洲和欧洲大电力系統的設計和运行实践方面，大多是沿着相似的方向发展的，这是由于自然界的內在規律到处都是一样。

不过有一个問題是按不同方向发展的，这就是对于由一些不能預料的自然現象（如雷电）所引起、或者是由于电气絕緣的偶然性所致的意外破坏而引起的电力系統停电的防止方法。

虽然这些現象还是由自然界的永恒規律所支配，但是它們的后果可能妨碍人定的規則；从一些負責电力和电信傳輸部門的法律方面來說，情况正是这样。因此，不同国家可能发展不同的做法，而在它們本身的範圍內都是很好的。

这样，在美国大电力系統的中性点大部分宁愿采用直接接地，并且在技术上連同所有分支部分（如各种事故开关操作）都得到了发展。另一方面，在欧洲发明了用諧振电抗器的电感接地，并已加以采用，它在接地一开始就使故障电流得到补偿，且不必采用新穎的开关操作程序，就能使电力和电信系統都得到保护。

所以現今有两种保护系統可用，各在其相应的範圍內很好地工作着，但在有些具体事物里仍有区别。

……現在有些欧洲大电力系統发展时采用了直接接地的技术，反之，美洲系統裝用諧振接地装置却在增多，二者各在其最有利的範圍內采用。……❶

R.魯登堡
麻省，剑桥。

❶ 引言中有关推荐本书作者等各节均已刪节。——譯者

第一篇 接地故障和接地方式

第一章 高压电网内的充电电流

1. 高压輸电线的电容效应

讓我們來考慮一個接入电源并准备供電的高压網絡。即使沒有用戶从這個網絡里用电，但导线和它周围的介质却决不是不起作用的。导线由正极性和負极性电荷交变地充电，在导线之間，和导线对地一样，也建立了电压。虽然在后面我們将会看到，在多于两根导线时的实际关系要复杂得多，但研究我們的問題，可以由下式中的电荷与电位之間的线性关系出发：

$$Q = CV. \quad (1)$$

系数C表示导体排列的貯存电荷的能力，叫做电容，单位以法或厘米表示。这些单位在技术应用中的关系如下：

$$1\text{ 法} = 10^6\text{ 微法} = 9 \times 10^9\text{ 厘米}.$$

不同物体的比較，有助于获得一个关于电容数值大小的概念。大地可看作是一个球形电容器，其径向的电力线終止于无穷远处的一个异极性电荷；球的半径为6300公里 = 6.3×10^8 厘米，其电容值为700微法。在一个直流电压100伏电解液式电容器里，同样的电容可以放进約为160立方厘米的体积內，电容器的两极之間仅隔以一层很薄的介质。富兰克林的电容器，是一个用3毫米厚的玻璃制成的萊頓瓶，电容值为0.014微法。自然界所用的尺寸就比較大。面积为10平方公里、高度900米的雷云，与大地形成一个电容值为0.1微法的电容器；若以距地面高度10米，长度160公里的三相輸电线路和它相比，那末线路的对地电容約为2.4微法。等式(1)說明，要在三条导线与大地之間建立11千伏的电压(瞬时值)，所需电荷为：

$$11000 \times 2.4 \times 10^{-6} = 0.0266\text{ 庫伦}.$$

要在 $1/100$ 秒内，把这个电荷变为数值相等极性相反的电荷，所需的充电电流平均值为：

$$\frac{2 \times 0.0266}{\frac{1}{100}} = 5.3\text{ 安}.$$

系統愈大，电压愈高时，电容电流对电力线路的影响愈大。近代的超高压輸电系統，长度达数百里，仅仅为提供导线相互間以及导线对地間的电場所需的无功功率的电流就要达数百安。

高压网络的这些特性，在电缆系統中就更加显著了。一条33千伏屏蔽型电缆（每条线芯都在单独的金属屏蔽层里），每相每公里相当于一个电容为0.25微法的电容器。电容的增大，是由于充电表面的相互接近和絕緣物的介质系数比較大。

在这种情况下，几百甚至几千千伏安的无功分量，将和有功功率一样，由系統来輸送。在萊茵州的220千伏大系統中，接地故障要引起200,000千伏安的无功电容电力流动。这种电力的交換，就是再小一些也必須加以控制，以免在系統失去正常平衡状态时造成严重的后果。

高压系統电容不平衡的主要原因就是接地故障。为了寻找补救方法，必須从研究电容效应的性质着手。

2. 几种基本导線排列方式的电容

在以下关于导线电容性质的討論中，把电荷看作是沿导线全长均匀地分布，由于电荷随时间的变化比起电磁波的固定传播速度来是太慢了，因此对它不会有什么影响。系統的各段，可假定它的作用都是接在电源母线上的集中电容。为了明确这样假定是允許的，只要記住80公里的长度在0.00027秒內即可布滿充电电流，而这个时间不过是半个周期的一小分数。在特殊情况下，导线的电感特性需要仔細考慮，但这可留待下一章去講。在目前的初步探討中，导体的电感可忽略不計，这就意味着电荷的传播速度为无限大。

当介质常数等于1时，电荷 Q 与电場强度 E 的基本关系是

$$\int E_n dS = 4\pi Q, \quad (2)$$

式中 E_n 系垂直于表面的分量。

对于除了空气以外的介质，上式的左侧应乘以介质常数 ϵ 。若电力线沿表面 S 为均匀分布，则式(2)可简化为：

$$SE_n = 4\pi Q. \quad (2a)$$

上式的物理意义是： $Q = 1$ 的点电荷（静电单位），在半径为1厘米或面积为 4π 平方厘米的球体表面上，产生单位电場强度（系按cgs制静电单位数字方程方法，而不是按合理化电学单位表示）。

同軸异性电极位于无限远的圆筒导体的电力线图如图1所示。在介质的任意点：

$$E = \frac{4\pi Q}{S} = \frac{4\pi Q}{2\pi r} = 2 \frac{Q}{r}, \quad (3)$$

Q 和 S 分别为每单位长度圆筒导体的电荷和表面面积。

一单位試驗电荷在半径为 r 和 R 两圆筒面間的电場作用下运动时，其所做的功 $W = \int E_n dr$ ，或其相当的电位降为

$$V_r - V_R = \int_r^R 2 \frac{Q}{r} dr = 2Q \log_e \frac{R}{r}. \quad (4)$$

每一等位面（ $V = \text{常数}$ ）均代表一能量水平，位于 P_1 与 P_2 两点的电荷，可以自由移动，只要它们都保持在它们原来的等位面上。电荷从 P_1 到达 P_2 ，与中间所經過的路径无关。

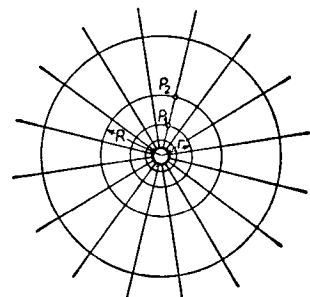


图 1 圆筒形导体的静电场

散布于两圆筒等位面间的电力线，可以假定终止在等位面上，只要所需的异极性电荷是在那里的話。在这两充电圆筒面之外沒有电場存在。由式(1)，可从电位差与电荷 Q 导出圆筒电容器单位长度的电容：

$$C = \frac{Q}{V_r - V_R} = \frac{1}{2 \log_e \frac{R}{r}}. \quad (5)$$

当 Q 与 V 以静电单位表示时，所求得的 C 为每单位长度多少厘米（厘米/厘米）。若换算为法，須乘以 $\frac{1}{9 \times 10^{11}}$ 。若电容用微法/公里表示，则应乘以 $\frac{10^6 \times 10^5}{9 \times 10^{11}} = \frac{1}{9}$ 。結果为：

$$C = \frac{1}{18 \log_e \frac{R}{r}} \text{ 微法/公里}, \quad (5a)$$

或

$$\frac{0.0894}{\log_e \frac{R}{r}} \text{ 微法/哩}$$

以 \log_{10} 代替 \log_e 得：

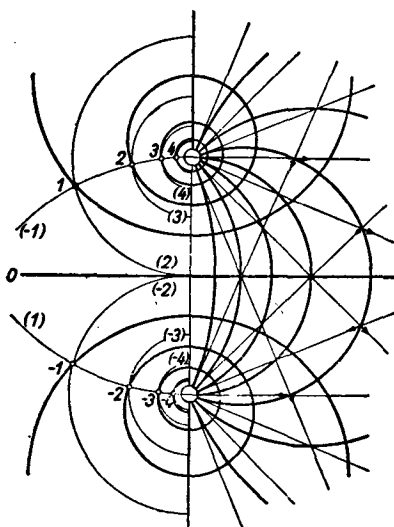


图 2 一对圆筒导体的静电场

位电荷从一点 (r_1, r_2) 到另一点 (R_1, R_2) 时的能量变化是：电荷 1 的电场作用 $(V_{r_1} - V_{R_1})$ 和电荷 2 的电场作用 $-(V_{r_2} - V_{R_2})$ 。

以 V_r 和 V_R 分別表示两点的总电位能，则由(4)得：

$$V_r - V_R = 2Q \left(\log_e \frac{R_1}{r_1} - \log_e \frac{R_2}{r_2} \right), \quad (6)$$

$$\text{或 } \frac{0.04826}{2 \log_{10} \frac{R}{r}} \text{ 微法/公里},$$

$$\frac{0.0777}{2 \log_{10} \frac{R}{r}} \text{ 微法/哩}.$$

除所謂屏蔽型电纜外，現代电力輸送中实际上沒有将导体作同心排列的。但是，同心导体的特性，是研究具有异极性电荷的平行导线的基础。所采用的适当步驟是将两圆筒形电容器的电场迭置在一起，其外层导体看成已移到很远的地方。此时，两导体趋于重合，在极限情况下，异极性电荷的效用将完全抵消。双圆筒的向量电场，如图 2 所示，系由原来的两个径向电场向量相加而成。可以看出，等位线和电力线同样也是一些圆。当移动一单

异极性
与电荷
(5)

或

$$V_r - V_R = 2Q \left(\log_e \frac{r_2}{r_1} - \log_e \frac{R_2}{R_1} \right). \quad (6a)$$

公式 (6a) 中 (r_1, r_2) 点的电位，是相对于 (R_1, R_2) 点的电位而言。在离两导体无限远处选一基准点，便可消去式 (6a) 中的第二项，而变为

$$V = 2Q \log_e \frac{r_2}{r_1}. \quad (6b)$$

算为

(5a)

(5b)

等位面是由图 2 中 $\frac{r_2}{r_1} = \text{常数}$ 的圆族平面所切成的圆柱体。从我们的要求来说，这不须更

详细的证明。与等位面正交的电力线，在导体表面之间形成另一组圆。用任一等位面代替导体表面，并将电荷分布在它上面，对结果并无妨碍。反之，每个圆柱导体可用一根导线来代替，虽然导线对几何轴还会有轻微的偏移，而不能恰好互相重合。当直径对导体距离的比值甚小时，偏心值可以不计，兹证明如下。

在图 3 中，任意从图 2 中选一等位面作为导体的表面。同时，画出一条特殊的电力线，在两圆心的连线上形成一个半圆形。导体的几何轴位于对称面 E—E 上方高 h 处；于是等效导线的轴 O 位于对称面以上另一距离 m 处。导体半径以 ρ 表之。圆形电力线在 S 点与导体表面成直角相交；以 h 为斜边并以角 S 组成直角三角形，可得：

$$m^2 = h^2 - \rho^2. \quad (7)$$

偏心值为

$$h - m = h - \sqrt{h^2 - \rho^2}.$$

当 $\frac{\rho}{h}$ 的值小时，偏心值约等于 $\frac{\rho^2}{2h}$ 或导体半径 ρ 的 $\frac{\rho}{2h}$ 之一。因此，在实际的输电线上偏心值是小于导线半径的百分之一。故在架空线的圆筒导体中，其电磁的和几何的轴可看做是一致的。

更仔细地检查一下图 2，发现电力线并不是均匀地从等位面引出，这是因为两等位面间的宽度是不均匀的。在应用式 (2) 到导体表面的任何部分时，应知电荷沿圆周的分布都是不均匀的。对于架空线路导线的一般尺寸和间距来说，这仅是一个无关重要的细节。

从以下事实可以得出一个重要的结论：即可以选取任何两个等位面作为带有极性相反、大小相等电荷的物体，而不改变其静电场。特别是一个圆柱导体位于导电平面 E—E 的上方时，也就是一个导体位于大地之上时，也包括在前面讨论的范围里，因为在图 3 中对称平面 E—E 形成了一个等位面。位于平面之上的一个导体的电场，完全等同于该导体与其极性相反、电荷相等的镜像导体之间的电场。这个等量关系，将用来进行多导线布置的研究。

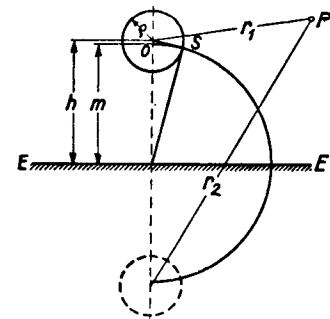


图 3 在导电平面上方的圆筒导体，等效导线偏移值的确定

位于大地上方的一条导线的电位 V , 在任意点 P 都是由该点到导线本身的轴和到导线镜象的轴的距离 r_1 及 r_2 来确定(图 3):

$$V = 2Q \log_e \frac{r_2}{r_1}. \quad (6b)$$

对称面的电位为零。在导线表面的电位, 按图 3 中的符号, 可用下式表之:

$$V = 2Q \log_e \frac{2h}{\rho}. \quad (8)$$

单位长度的电容为:

$$C = \frac{Q}{V} = \frac{1}{2 \log_e \frac{2h}{\rho}}. \quad (9)$$

在确定数值时, 应用前面和式 (5a)、(5b) 有关的说明, 可得:

$$C = \frac{0.02413}{\log_{10} \frac{2h}{\rho}} \text{ 微法/公里}, \quad (9a)$$

或

$$\frac{0.03885}{\log_{10} \frac{2h}{\rho}} \text{ 微法/哩}$$

数字例子: 一条直径为 0.63 厘米的单导线, 离地面高度 10 米, 每公里的电容为 0.0069 微法。

3. 简单导线系统的电容图解。定义

为了进一步分析导线和大地间的电容关系, 让我们将一附加导线置于一主导线的电场内, 令其轴与主导线平行, 和地相隔离或与地连接, 然后研究该附加导线的影响。

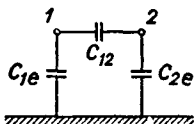


图 4 两导线间的基本电容关系

显然, 任何一条半径很小的绝缘导线, 可以只当它是测试该点电位的探测导线。该导线由于未与电源连接, 故电荷为零。这两句话, 初看象是不一致, 因为无电荷而有电位似乎是自相矛盾的。但是如果我们将假定两个不同极性的电荷同时存在于一个导体

上, 一个电荷与主导体相连, 另一个与大地相连, 则解说上的困难就不存在了。这种情况, 在两个串联的电容器中是很清楚的。这里很明显, 绝缘起来的部分具有固定的电位, 但无总的电荷。这种看法, 可用图 4 的等值电容结线表示。导线 1 和 2 形成三个电容: C_{1e} 和 C_{2e} 是对地电容; C_{12} 是导线 1 与 2 之间的电容。它们都叫作“直接电容”。为了核对结线图的正确性, 可以做出两种预先的判断, 随后另加证明:

1. 若导线 2 保持绝缘, 则导线 1 与大地间的电容不会发生任何改变, 因为引入探测导线 2 不会引起电场结构的变化。对导线 2 可以完全不加考虑。这样, 就使 C_{12} 与 C_{2e} 串联起来, 并与 C_{1e} 并联, 由式 (9) 便可直接求出导线 1 的电容 C_{1e} 。